
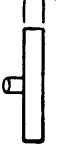

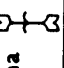


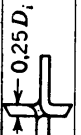



Tipo de rodete	$\frac{D_t}{D_i}$	$\frac{Z_i}{D_i}$	$\frac{Z_i}{D_i}$	Hojas cort.		N.º Ref.	Tipo de rodete	$\frac{D_t}{D_i}$	$\frac{Z_i}{D_i}$	$\frac{Z_i}{D_i}$	Hojas cort.		N.º Ref.	N.º
				N.º	w/D _i						N.º	w/D _i		
Turbina de 6 palas planas $0,25D_i$ 	3	2,7-3,9	0,75-1,3	4	0,17	1	Dos paletas 	4,35	4,3	0,29	3	0,11	8	3
Igual que en el n.º 1	3	2,7-3,9	0,75-1,3	4	0,10	2	Cuatro paletas. Ver n.º 8	3	3	0,5	0		16	2
Igual que en el n.º 1	3	2,7-3,9	0,75-1,3	4	0,04	4	Dos paletas. Ver n.º 8	3	3,2	0,33	0		20	4
Igual que en el n.º 1; a = 1, b = 40	3	2,7-3,9	0,75-1,3	0		14	Dos paletas. Ver n.º 8	3	2,7-3,9	0,75-1,3	4	0,10	10	7
Turbina de 6 palas curvadas Tam. de palas como en n.º 1 	3	2,7-3,9	0,75-1,3	4	0,10	3	Dos paletas. Ver n.º 8 Ancho de paleta = 0,13 D _i	1,1	0,5	0,19	0		29	10
Turbina 6 palas forma flecha Tam. de pala como en n.º 1 	3	2,7-3,9	0,75-1,3	4	0,10	5	Dos paletas. Ver n.º 8 Ancho de paleta = 0,17 D _i	1,1	0,4	0,10	0		29	10
Turbina radial con anillo deflector 				0		7	Hélice de 3 palas Paso de la hélice = 2 D _i 	3	2,7-3,9	0,75-1,3	4	0,10	15	7
Turbina cerrada, de 6 palas. Anillo deflector de 20 hojas	2,4	0,74	0,9	0		11	Igual que el n.º 15; a=1,7, b=18	3,3	2,7-3,9	0,75-1,3	0		21	7
Semejante, mas no idéntica a la n.º 11	3	2,7-3,9	0,75-1,3	0		12	Igual que el n.º 15, pero con paso = 1,33 D _i	16			3	0,06	18	5
Igual que la 12, pero sin anillo deflector.	3	2,7-3,9	0,75-1,3	4	0,10	13	Igual que el n.º 15, pero con paso = 1,09 D _i	9,6			3	0,06	23	5
Turbina axil de 8 palas con ángulo de 45°. Ver. n.º 17	3	2,7-3,9	0,75-1,3	4	0,10	9	Igual que el n.º 15, pero con paso = 1,05 D _i , a = 2,3, b = 18	2,7	2,7-3,9	0,75-1,3	0		27	7
Turbina axil 4 palas con ángulo de 60° 	3	3	0,50	0		17	Igual que el n.º 15, pero con paso = 1,04 D _i , a = 0, b = 18	4,5	2,7-3,9	0,75-1,3	0		25	7
Turbina axil de 4 palas con ángulo de 45°. Ver n.º 17.	5,2	5,2	0,87	0		19	Igual que el n.º 15, pero con paso = D _i	3	2,7-3,9	0,75-1,3	4	0,10	24	7
Igual que la n.º 19	2,4-3,0	2,4-3,0	0,4-0,5	0		22	Igual que el n.º 15, pero con paso = D _i ; a = 2,1, b = 18	3	2,7-3,9	0,75-1,3	0		26	7
Disco con 16 paletas 	2,5	2,5	0,75	4	0,25	6	Igual que el n.º 15, pero con paso = D _i	3,8	3,5	1,0	0		28	8

D_i = diámetro del rodete; D_t = diámetro del depósito; n = n.º de revoluciones por segundo; w = ancho de las hojas de los cortacorrientes; Z_i = altura que está el rodete sobre el fondo del depósito; Z_t = altura del nivel del líquido en el depósito.

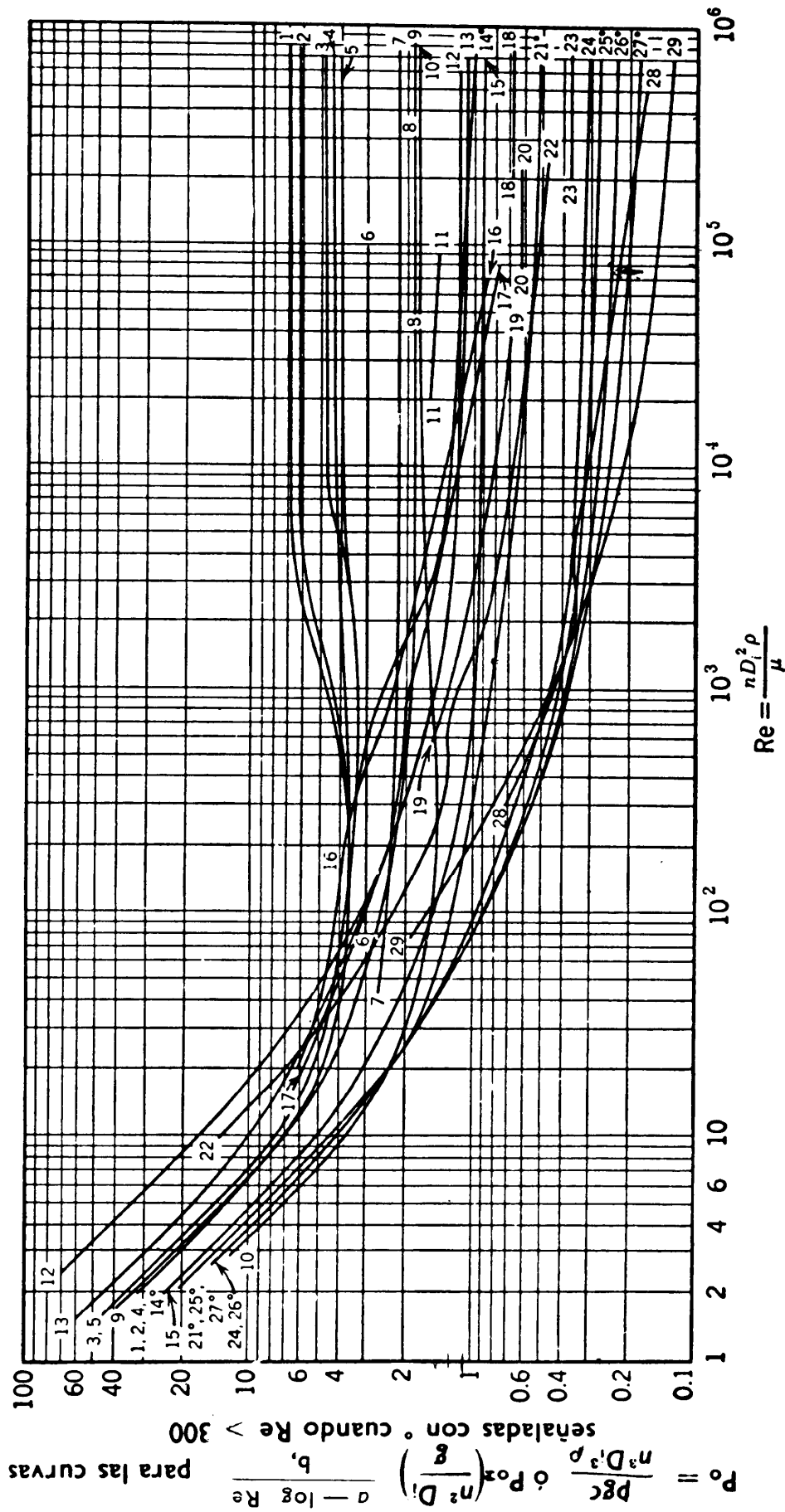


Fig. 477. Consumo de energía de diversos agitadores, expresado por el parámetro de potencia, P_o , y del número de Reynolds, Re . Para las curvas señaladas con °, la influencia de la superficie libre es considerable, por lo que se ha tenido en cuenta el número de Froude, $Fr = g/n^2 D_i$, para Re superiores a 300.